



## الطلاء الكهربائي بالكروم الصلد وتحسين الخواص بالمعاملات الحرارية الكيميائية (الكرينة الصلبة) لفولاذ منخفض الكاربون

مني خضير عباس\*      أمين سلوم عباس\*\*      أحمد سلوم ثامر

قسم هندسة الانتاج والمعادن/جامعة التكنولوجية

mukeab2005@yahoo.com\* Email:

Email: ahmedsaloom74@yahoo.com \*\*

(Received 21 January 2008; accepted 26 August 2009)

### الخلاصة

في هذا البحث استخدمت طريقة الطلاء الكهربائي بالكروم الصلد، وهي إحدى طرائق الطلاء بتكون غطاء على السطح، باستخدام حامض الكروميك كمصدر الكروم وكذلك حامض الكبريتيك كعامل محفز اذ أن نسبة حامض الكروميك إلى حامض الكبريتيك كانت (1:100) على التوالي. تمت عملية الطلاء بتسليط كثافة تيار مقدارها ( $40 \text{ Amp} / \text{dm}^2$ ) ودرجة حرارة محلول الطلاء ( $50 - 55^\circ\text{C}$ ) ولفترات زمنية مختلفة (hr 5 - 1). استخدم الفولاذ منخفض الكاربون نوع (CK<sub>15</sub>) كسيكة أساس (Substrate) لغرض طلاءها بالكروم الصلد. تم أداء المعاملة الحرارية الكيميائية (الكرينة الصلبة) للعينات المطلية بالكروم الصلد عند درجة حرارة ( $925^\circ\text{C}$ ) ولفتره زمنية (2hr) للحصول على طبقة من كاريبيات الكروم. إذ تم تحديد الأطوار البلورية المكونة لطبقة الطلاء بعد أداء الكرينة الصلبة والمتبوعة بالقياسية والمراجعة بجهاز حيد الأشعة السينية فقدم الحصول على كاريبيات الكروم من نوع (Cr<sub>23</sub>C<sub>6</sub>, Cr<sub>7</sub>C<sub>3</sub>). وتم قياس الصلادة الدقيقة للعينات المطلية بالكروم اذ تم الحصول على صلادة عالية تقدر (907HV). أما بعد أداء الكرينة الصلبة لعينات الطلاء فقد ارتفعت قيم الصلادة وبشكل ملحوظ حيث أظهرت النتائج أن أعلى صلادة كانت لطبقة الطلاء الكروم على سطح الفولاذ منخفض الكاربون كانت (1276HV) ويعزى سبب ارتفاع قيم الصلادة إلى وجود كاريبيات الكروم ضمن طبقة الطلاء.

استخدم جهاز البلي نوع المسamar – القرص (Pin on Disc) لدراسة خواص البلي الانزلاقية الجاف لعينات الفولاذ منخفض الكاربون (كما استلمت) والعينات المطلية بالكروم الصلد والمكرينة كرينة صلبة. وقد تم دراسة تأثير الحمل المسلط على معدل البلي بطريقة الفقدان بالوزن باستخدام أحجام عمودية مختلفة هي N (5 , 10 , 15 , 20 , 25) وسرعة انزلاقية (Sliding speed) (m / sec) (2.198). وقد أظهرت النتائج ان معدل البلي يزداد مع زيادة الحمل المسلط للعينات المطلية بالكروم، وأن أعلى مقاومة للبلي تم الحصول عليها بعد أداء الكرينة الصلبة للعينات المطلية بالكروم حيث لوحظ التحسن الكبير في مقاومة البلي وبما يعادل (94%) مقارنة بالفولاذ منخفض الكاربون بحالته المستلمه.

**الكلمات المفتاحية:** Chromium electroplating, carbon steel, solid carburizing , wear

### 1. المقدمة

العدد ، وكذلك يستخدم في اصلاح (Reclamation) الأجزاء المتضررة [4,3,1]. كما ان استخدام المعاملات الحرارية الكيميائية (Thermo chemical Treatments) تؤدي الى حدوث تغير بالتركيب الكيميائي للسطح باضافات معينة بالانتشار وان هذه الاضافات يمكن ان تكون معدنية (Metallic) مثل الكرمنة (Chromizing) والالمنة (Aluminizing) أو غير معدنية (Non- metallic) مثل النتردة (Nitriding) والكرينة (carburizing) والبوردة (Boriding).

أن تطبيق المعاملات الحرارية الكيميائية يؤدي إلى الحصول على خاصيتين في آن واحد هي الصلادة العالية للسطح مع الاحتفاظ بمتانة القلب (Core) مما يؤدي إلى تحسين مقاومة البلي وكذلك القابلية على تحمل الاجهادات العالية [6,5]. وبصورة عامة فأن استخدام المعاملات السطحية (Surface treatments) والطلاء بتكون غطاء على السطح يؤدي إلى زيادة في عمر الأجزاء الهندسية بتقليل ظاهري البلي والتآكل [7,3].

تعرض العديد من من الأجزاء الهندسية لمعدلات تشغيل عالية مما يولد معدل بلي كبير لهذه الأجزاء ويسبب مشاكل كبيرة في المجال الصناعي . وتحسين مقاومة البلي (Wear Resistance) لهذه الأجزاء استخدمت العديد من التقنيات التي من الممكن اجرائها بطرق ميكانيكية مثل طريقة القف بالكرات (Shot peening) ، او طرائق حرارية كالتصليد باللح (Induction Hardening) [2,1]. كذلك تستخدم تقنية الطلاء بتكون غطاء على السطح (Overlay coating) التي تؤدي إلى احداث تغير في التركيب الكيميائي للسطح اذ يعد الطلاء Hard chroming الكهربائي بالكروم الصلد (electroplating) من الطرائق الشائعة الاستخدام في هذه التقنية لانه يستخدم لزيادة مقاومة البلي والحك (Abrasion) و كذلك الناكل (Corrosion) وتحسين أداء (Performance)

### طلاء العينات بالكروم الصلد كهربائيا

تم تحضير حوض الطلاء المصنوع من مادة ثرموبلاستيكية تسمى PTFE وتعرف تجاريًا بالتلفون (Teflon) وبإبعاد 10\*15\*29 سم. تم غسل حوض الطلاء بالماء أولاً بشكل جيد بعدها تم إضافة قشور من أوكسيد الكروم ( $\text{CrO}_3$ ) إلى الماء ومزجها جيد بالمازج الكهربائي وبنسبة 250 غم/لتر (من الماء المقطر). وأضيف للمحلول أيضاً حامض الكبريتิก ( $\text{H}_2\text{SO}_4$ ) كعامل محفز لعملية الطلاء وبنسبة 1% أي 2.5 غم/لتر من حامض الكبريتيك. ويمليء الحوض بمحلول الطلاء إلى مستوى ثلاثة أرباع ارتفاع الحوض وباستخدام المسخن الكهربائي وصولاً إلى الدرجة المطلوبة (50-55°C) لمدة ربع ساعة تقريباً. ثم تربط العينة باستخدام الماسكات بالقطب السالب بينما تربط الأقطاب الرصاصية بالقطب الموجب. وبعدها غمرت العينات في محلول ليمور التيار المطلوب للحصول على طلاء الكروم الصلد. وتم مراقبة كثافة التيار وصولاً إلى نوع من الاستقرارية وذلك للحصول على طلاء جيد بينما تم مراقبة درجة حرارة محلول الطلاء باستخدام المحرار لكي يتم الحفاظ على درجة الحرارة ضمن المدى المطلوب. كذلك تم قياس الفولتنية باستخدام مقياس الفولتنية (Voltmeter) أثناء الطلاء (v 5.44 v). وقد تم طلاء العينات بفترات زمنية مختلفة (1-5) ساعة وحسب السمك المطلوب. والشكل (1) يوضح خلية الطلاء الكهربائي المستخدمة في البحث.

والشكلان (2) و(3) يوضحان التصوير بالمجهر الضوئي وبالمجهر الإلكتروني الماسح لطبقة الطلاء بالكروم الصلد للفولاذ منخفض الكربون على التعاقب.

ونظراً للأهمية البالغة لهذا الموضوع فقد جاءت هذه الدراسة كجزء من الحلقات البحثية التي تختص تحسين مقاومة البلي للفولاذ منخفض الكربون وخاصة في التطبيقات الهندسية كالقوالب والمضخات ومعدات التشكيل على الحارو وغيرها.

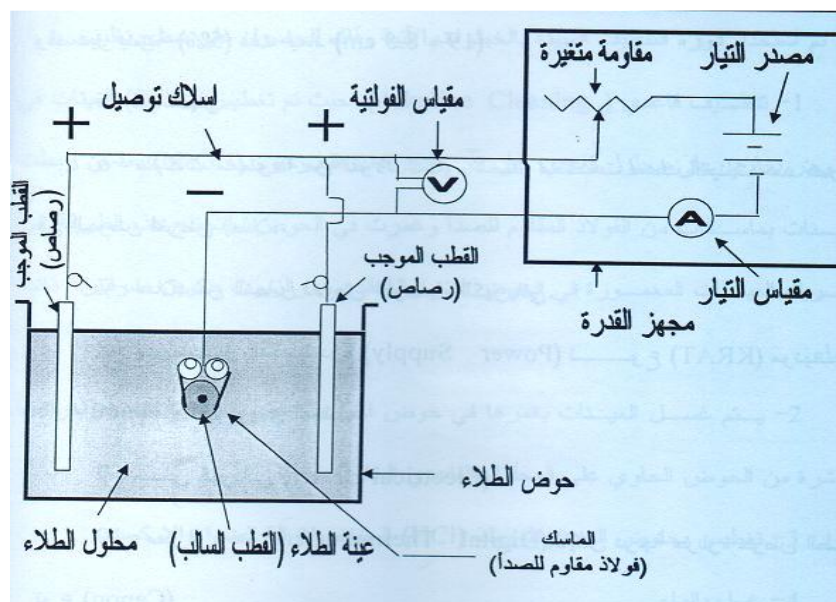
### ٢. الجزء العلمي تصنيع العينات

تم تصنيع عينات اسطوانية الشكل لغرض طلاؤها بالكروم الصلد وأجراء اختبار البلي وكانت أبعاد العينة (20) ملم الطول والقطر (10) ملم. وتم أجراء المعاملة الحرارية (المراجعة) في 160°C لمدة (1) ساعة لإزالة الإجهاد الداخلي. ثم أجريت عملية التعقيم الرطب بالماء للعينات باستخدام ورق كاربيد السيليكون بدرجات مختلفة (320، 500 و 1000) ثم تم غسلها بالماء والكحول وتجفيفها.

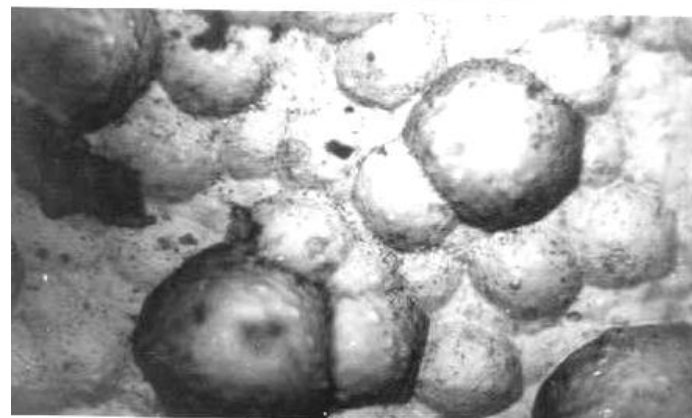
### تنظيف العينات قبل عملية الطلاء

تم استخدام عملية التنظيف الكيميائي وذلك للحصول على سطح نظيف وتهيئة سطح العينة لعملية الطلاء وقد أجريت هذه العملية على مراحل:-

- تنظيف قاعدي حيث يتم تغطيس العينات في حوض حاوي على محلول قاعدي حار هو هيدروكسيد الصوديوم (NaOH). وتحتاج هذه الطريقة إلى تحريك للعينات المغمورة في الحوض ليتم إزالة الدهون والزيوت وذلك بتكونين صوابين ذائبة بالماء.
- يتم غسل العينات في حوض آخر حاو على الماء.
- تنظيف حامضي حيث يتم تغطيس العينات في حامض الهيدروكلوريك (HCl) المخفف لإزالة الصدأ والأوكسيد.
- غسل العينات بالماء.



شكل\_1\_ رسم تخطيطي يوضح خلية الطلاء الكهربائي المستخدمة في البحث

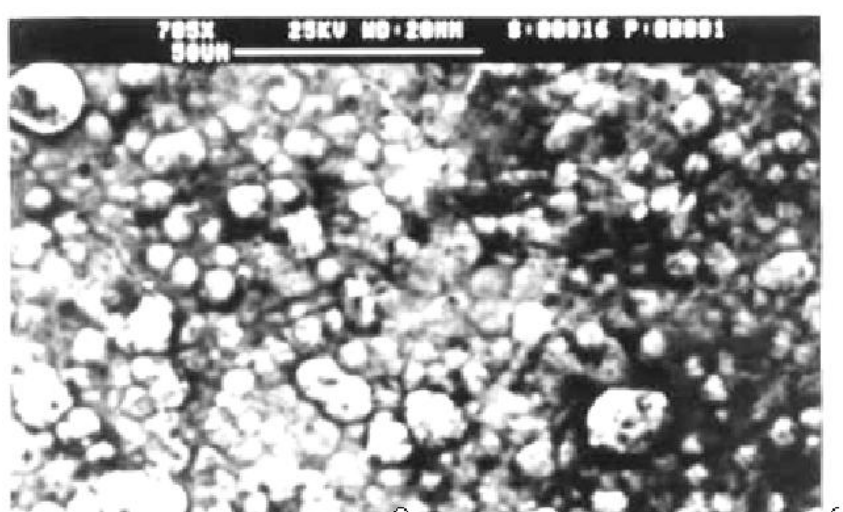


X252

شكل\_2\_ صورة مجهرية لسطح الطلاء بالクロم الصار للفولاذ منخفض الكربون نوع (CK<sub>15</sub>) (بعد 5 ساعة من عملية الطلاء الكهربائي)



636X - بعد 1 ساعة - A



705X - بعد 2 ساعة - B

شكل\_3\_ الصور المجهرية المأخوذة بالمجهر الإلكتروني الماسح (SEM) لسطح الطلاء بالكروم الصلد للفولاذ منخفض الكربون نوع (CK<sub>1</sub>)

العينات بالماء وذلك لتحسين البنية المجهرية للقلب (Core) الذي تعرض الى افراط في التسخين اثناء عملية الكربنة. لذا تجري عملية تقسية ثانية لظهور الكاريبيات والتي تتم بتسخين الفولاذ الى درجة حرارة (780) °م لمرة ربع ساعة ثم التبريد بالماء. أجريت عملية مراجعة في درجة حرارة (200) °م لمرة ساعة ثم التبريد بالهواء لازالة الاجهادات الداخلية التي تتكون من جراء عملية التقسيمة.

### المواد المستخدمة

تم استخدام فولاذ منخفض الكاربون نوع (Ck<sub>15</sub>) وحسب المواصفة الالمانية (DIN17210) لاستخدامه في التطبيقات الصناعية التي تحتاج الى سطح صل مقاوم للبلى مع الاحتفاظ بقلب طري مقاوم للصدمات. والفولاذ عبارة عن قضبان اسطوانية قطرها (19) ملم وبطول (6) متر. تم اجراء الفحص التركيب الكيميائي باستخدام جهاز التحليل الطيفي نوع(Spectrometer) (ARL, Analysis, ARL). والجدول (1) يبين نتائج التحليل الكيميائي للفولاذ منخفض الكاربون نوع(Ck<sub>15</sub>).

### المعاملات الحرارية الكيميائية ( الكربنة الصلبة )

أجريت عملية الكربنة الصلبة لعينات الفولاذ منخفض الكاربون المطلية بالكريون الصلد، حيث وضع العينات في صندوق من الفولاذ المقاوم للصدأ (صندوق الكربنة) ثم احكم غلقه بالطين الحراري بعد منه بخلط الكربنة. حيث يتكون الخليط من الفحم النباتي (Charcoal) بنسبة (70%) ومسحوق فحم الكوك (Coke powder) بنسبة (5%) إضافة الى كاربونات الصوديوم (NaCO<sub>3</sub>) بنسبة (25%) لتجهيز الاوكسجين اللازم لتكون أول أوكسيد (CO) الذي يولد الكاربون الناري (Atomic carbon) عند تحلله على سطح العينات. تم وضع الصندوق في فرن المقاومة الكهربائية بدرجة حرارة (925) °م لفترة زمنية 2 ساعة.

### المعاملات الحرارية بعد الكربنة

أجريت عملية تقسية مزدوجة على العينات المطلية بالكريون الصلد والمكربنة ( كربنة صلبة ) حيث تم التسخين في المرحلة الاولى الى درجة حرارة (880) °م لمرة ربع ساعة بعدها بردت

**جدول 1**  
نتائج التحليل الكيميائي للفولاذ منخفض الكاربون نوع (Ck15)

العنصر wt%	C%	Si%	Mn %	P%	S%
القيمة القياسية	0.12 – 0.18	0.4	0.3 – 0.6	0.035	0.035
القيمة الفعلية	0.14	0.4	0.38	0.02	0.03

حيث ان :-

ri : نصف قطر المسامة

Ni : عدد المسامات

S : المساحة الكلية

### ٣. الفحوصات والاختبارات حساب مسامية الطلاء

يمكن حساب مسامية الطلاء من خلال حساب المساحة الجزئية (Area fraction) التي تشغله المسامات المتولدة نتيجة لعملية الطلاء. حيث تم اعتبار المسامات كروية الشكل تقريباً من خلال العلاقة التالية [8] :-

$$\frac{\pi \sum Niri^2}{S} = \frac{مس}{مساجة} = \frac{مساجة}{مساجة الكلية} = \frac{مساجة}{مساجة الجزئية للمسامات} \quad (1)$$

### فحص الخشونة (Roughness Inspection)

تم قياس الخشونة السطحية للعينات بعد اجراء التغريم (Grinding) لها وقبل الطلاء وكذلك للعينات بعد الطلاء، ومقارنة ذلك بعد اجراء الكربنة الصلبة للعينات المطلية باستخدام جهاز قياس الخشونة نوع SGP (Perthometer) دقتها (0.001 µm). والجدول (2) يبين قيم الخشونة السطحية للعينات المفحوصة.

**جدول 2،**  
**يبيّن الخشونة السطحية للعينات المفحوصة**

Specimen	Ra(µm) (average)	Rt (µm) (max)
Ck <sub>15</sub> As received	0.08	1.53
CK <sub>15</sub> As deposited	0.09	1.75

CK <sub>15</sub> Hard (Cr) + Carburized	0.16	1.88
-----------------------------------------	------	------

مختلفة . وقد تم اختيار دراسة تأثير الحمل المسلط على عينات البحث وكانت ظروف الاختبار كالتالي :-

1- الاحمال المستخدمة N (25,20,15,10,5 )

2- زمن الاختبار هو (30 min)

3- صلادة الفرسن المواجه (counter face) 67HRc

4- بعد العينة عن مركز الدوران (5cm)

5- السرعة الدورانية للفرسن (510 r.p.m)

تم حساب معدلات البلي باستخدام الطريقة الوزنية (The Weighting Method) التي تتضمن حساب الفقدان بالوزن . وذلك بوزن العينة قبل الاختبار وبعد بميزان حساس رقمي ذي حساسية (0.0001 غم) من نوع (Mettler AE200) . ونتيجة التغير في الوزن المفقود على مسافة الانزلاق يمكن حساب معدل البلي وتحديده بـ غم / سم وكما موضح في المعادلة الآتية [ 9 ] :

$$\text{Wear Rate} = \frac{\Delta W}{2 \pi r N t} \quad \dots(2)$$

$$\Delta W = W_1 - W_2 \quad \dots(3)$$

حيث تمثل:-

$\Delta W$  : الفرق بالوزن للعينة قبل الاختبار وبعد الاختبار ، غم

W1 : وزن العينة قبل الاختبار ، غم

W2 : وزن العينة بعد الاختبار ، غم

r : نصف القطر من مركز العينة إلى مركز الفرسن ، سم

N : عدد دورات الفرسن ، دورة / بالدقيقة

t: زمن الاختبار ، دقيقة

### الفحص والتصوير بالمجهر الضوئي والمجهر الالكتروني الماسح (SEM)

استخدم المجهر الضوئي نوع (MeF<sub>2</sub>) وهو مجهر الابحاث العام (Universal Research Microscope) لغرض فحص العينات المطلية بالكروم وبدون أي عملية تحضيرية (As deposited). اما العينات المطلية بالكروم التي اجريت لها عملية الكربنة الصلبة فقد تم تحضيرها للفحص المجهري بإجراء عمليات تحضيرية من تتعيم وصدق واظهار . وتم بعد اجراء اختبار البلي دراسة وفحص السطح المتضرر نتيجة لهذا الاختبار وبدون اجراء أي عمليات تحضيرية للعينات . كما تم استخدام المجهر الالكتروني الماسح (Cambridge SEM) نوع (S.240) لدراسة طبغرافية أسطح البلي وملاحظة الآثار الناتجة عن اختبار البلي.

### التحليل بحبيبات الاشعة السينية X- Analysis

اجري التحليل بحبيبات الاشعة السينية (XRD) لبعض العينات المطلية بالكروم بعد اجراء عملية الكربنة الصلبة لها لمعرفة المركبات والاطوار الناتجة بعد الكربنة الصلبة لطبقة الطلاء ، وذلك باستخدام جهاز الفحص بحبيبات الاشعة السينية التابع الى الشركة العامة للمسح الجيولوجي والتعدين نوع

### حساب سماكة الطلاء Calculation

أخذت مقاطع عرضية من العينات المطلية بعد قطعها باستخدام ماكينة القطع نوع (Wire Cutter Machine) . وتم تقطيعها باستخدام اوراق تتعيم بدرجات مختلفة (1000,500,320,120) على التوالي . بعد ذلك صقلت ( Polished ) العينات باستخدام قماش صقل خاص مع استعمال معجون الماس وبحجم جببي (1.5) ميكرون بعدها غسلت العينات بالماء والکحول وجففت . ثم اجريت عملية الاظهار (Etching) باستخدام محلول الاظهار (النيتال) (Nital) المكون من (%2) حامض التتریک مع (%98) کحول مثيلي . ثم تم فحص المقطع العرضي للعينات المطلية بالمجهر الضوئي نوع (Carlzeiss Jena) لحساب سماكة الطلاء . وتم استخدام عدسة خاصة تحتوي على مقاييس أو تدرج (Scale) مع ترتيبه مايكرومتر خارجية . حيث يتم وضع أو انطباق المقاييس على طبقة الطلاء المراد قياسها ثم ضبط المقاييس من الميكرومتر وأخذ القراءة من التدرج الداخلي للعدسة . وكانت نتائج قياس سماكة طبقة الطلاء الكروم الصلد على سطح الفولاذ المكربن عند كثافة تيار (40 Amp / dm<sup>2</sup>) ودرجة حرارة محلول الطلاء (50 - 55) م°. والجدول (3) يوضح الزيادة الناتجة في سماكة طبقة طلاء الكروم الصلد مع الفترة الزمنية للطلاء .

جدول 3،  
يوضح تغير سماكة الطلاء للعينات مع الفترة الزمنية للطلاء

سماكة الطلاء (μm)	زمن الطلاء (hr)
25	1
50	2
70	3
105	4
150	5

### اختبار الصلادة المجهرية الدقيقة Hardness

تم قياس الصلادة المجهريه للعينات المطلية بالكروم (AS deposited) والعينات المطلية بالكروم التي تم كربتها باستخدام جهاز قياس الصلادة فيكرز (Vicker's) بعد اجراء عملية تحضيرية على العينات من تتعيم وصدق . وان الحمل المستخدم كان ثابتا لكل العينات وهو (160) غرام . واظهرت طبقة طلاء الكروم الصلد صلادة تتراوح بين (905-872HV) . أما بعد اجراء الكربنة الصلبة للعينات المطلية بالكروم فقد كانت (1276HV).

### اختبار البلي Wear Test

تم استخدام جهاز البلي الانزلاقي الجاف من نوع المسamar على الفرسن (Pin - on - Disc) لتنفيذ اختبار البلي وعند ظروف

(Philips P / N 1840) وباستخدام هدف نحاسي بطول موجي (Cuk  $\alpha = 1.54 \text{ A}^\circ$ )

يلاحظ وجود الشقوق (Cracks) في البنية المجهرية لطبقة طلاء الكروم نتيجة لعملية الكربنة الصلبة.

### مسامية الطلاء Plating Porosity

تعد المسامية احدى عيوب الطلاء لأنها تعمل على تقليل مقاومة التأكل علاوة على انها تقلل من الخواص الميكانيكية الأخرى مقاومة الكلال للجزء المطلني بالكرום. وت تكون المسامات (Localized defects) نتيجة لعيوب موضعية (Pores) تتشكل في مرحلة سابقة قبل الطلاء والتي تتضمن [1]:-

- 1- شوائب السطح (Surface Inclusion) في السبيكة الأساسية.
- 2- عيوب السطح والتي تتضمن الاخاذ (Crevices) والشقوق (Cracks) والخدوش (Scratches).

وتتسكب هذه العيوب الانفعنة الذكر الى عمليات التنظيف والتغطيس (Pickling)، وعمليات التشكيل على البارد كالدرفلة (Rolling). كما تساهم قدرة عملية الطلاء في تغطيتها للسطح (Cover Surface) في التأثير على المسامية. وبالرغم من مساوى المسامية الا ان التركيب المسامي (Porous Structure) من الممكن ان يكون ذو فائدة وذلك في تطبيقات البلى والتي تتطلب تزييت (Lubrication) وخاصة في اسطوانات المحركات. ان التركيب المسامي لطبقة الطلاء يسهل في زيادة قابلية الترطيب (Wettability) اذ تحافظ طبقة الطلاء بالمرizit بعد اجراء التزييت الأولي (Initial Lubrication) [2].

ويلاحظ من الشكل (6) والذي يوضح التغير في المسامية الجزئية للمسامات مع سماكة طبقة الطلاء بالكرום الصلد. اذ يلاحظ ان المساحة الجزئية للمسامات تزداد بزيادة سماكة الطلاء حيث بلغت النسبة المئوية للمسامات (6.5 %)، عند سماكة طلاء (150) مايكرون لفولاذ منخفض الكاربون نوع (Ck<sub>15</sub>).

### الصلادة المجهرية الدقيقة

يلاحظ من الشكل (7) بأن قيمة الصلادة عند السطح كانت (1276 HV) لفولاذ منخفض الكاربون بعد اجراء الكربنة الصلبة للعينات المطلية بالكروم. بينما كانت قيمة الصلادة الدقيقة (701 HV) لفولاذ منخفض الكاربون بعد اجراء الكربنة الصلبة والمتبوعة بالقصيسية والمراجعة. ويعزى هذا الارتفاع في قيمة الصلادة الى تكوين كاربيدات الكرום وكذلك كاربيد الحديد (Fe<sub>3</sub>C) في ارضية مارتنسياتية [6]. ويلاحظ الزيادة الحاصلة في عمق الطبق المصلدة (Case depth) ، اذ بلغت (0.6) ملم لفولاذ منخفض الكاربون بعد اجراء الكربنة الصلبة للعينات المطلية بالكروم الصلد، بينما بلغت (0.5) مايكرون عند اجراء الكربنة فقط لفولاذ منخفض الكاربون. وهذا يعود الى ارتفاع نسبة الكاربون وبالتالي زيادة العمليات الانتشارية وتكونن كاربيدات الكروم. وهذه النتائج تتفق مع ما قام به الباحث (Cameron) [14] ، اذ اشار الى ان اضافة عناصر السبك في عملية الكربنة تؤدي الى تكوين كاربيدات معقدة مثل كاربيدات الكروم.

### ٤. النتائج والمناقشة نتائج العينات المطلية بعد اجراء عملية الكربنة

تم اجراء الكربنة الصلبة للعينات المطلية بالكروم الصلد وذلك للحصول على طبقة سطحية مصلدة من كاربيدات الكروم (Cr<sub>7</sub>C<sub>3</sub> , Cr<sub>23</sub>C<sub>6</sub>) كما اثبتتها نتائج الفحص بحديد الاشعة السينية كما مبين في الشكل (12). ومن المعروف ان الطلاء الكهربائي بالكروم الصلد يولد اجهادات شديدة (Tensile stresses) على السطح تقلل من الخواص الميكانيكية لطبقة طلاء الكروم. لذا فإن اجراء الكربنة الصلبة لطبقة طلاء الكروم سوف يولد اجهادات ضغطية متبقية (Residual compression stresses) سوف تؤدي الى تحسن في خواص طبقة الطلاء [11].

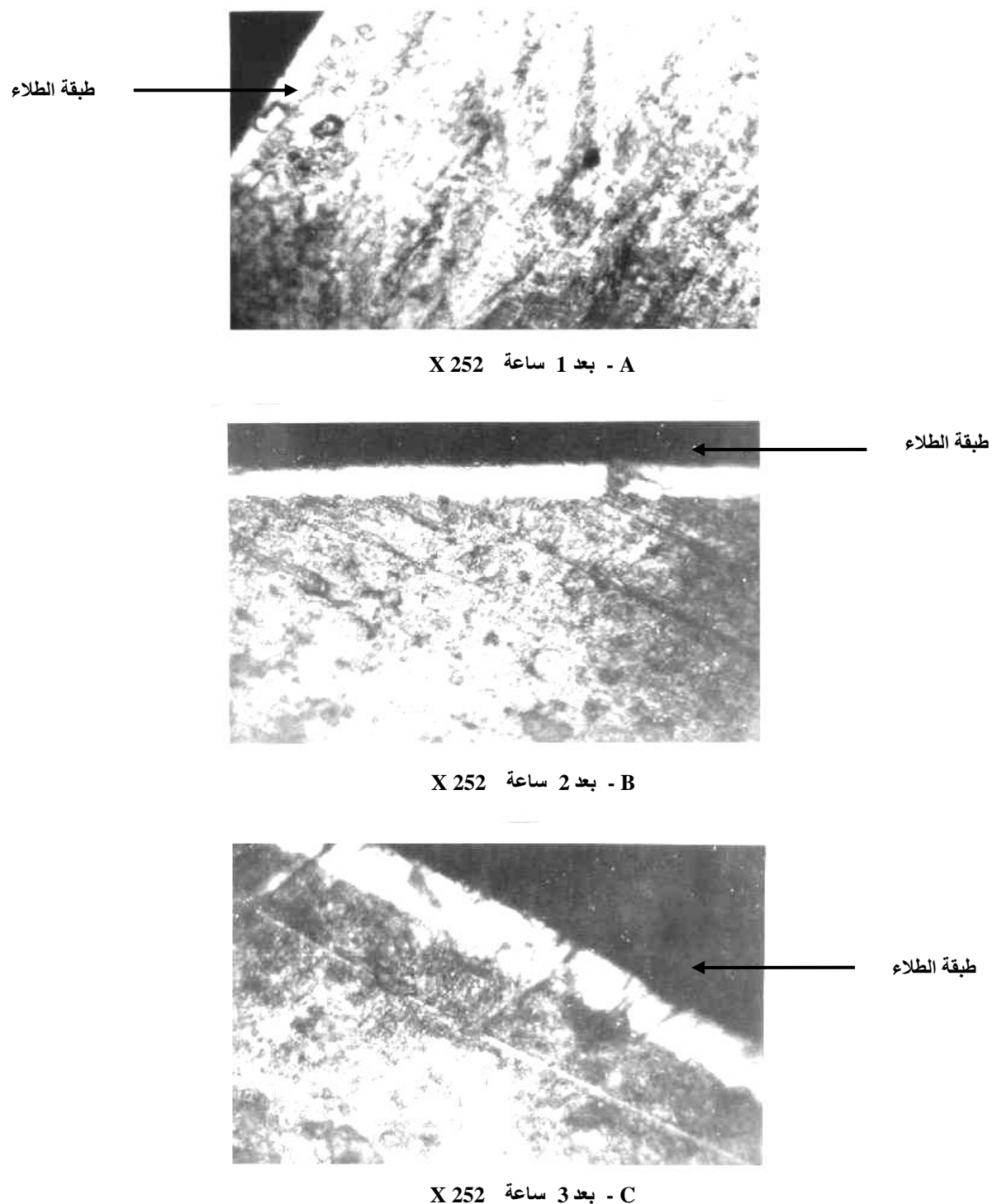
### الصلادة المجهرية الدقيقة

اظهرت طبقة الطلاء بالكروم الصلد قيمة للصلادة عند السطح تتراوح بين (872HV - 907). وقد وصلت الصلادة الى (1276 HV) بعد اجراء الكربنة الصلبة للعينات المطلية بالكروم. وكان سماكة طبقة الطلاء (150) مايكرون بعد اجراء الطلاء لمدة (5) ساعة. حيث يختلف سماكة طبقة الطلاء بالكروم الصلد حسب التطبيق الهندسي ويتراوح سماكة طبقة الطلاء بالكروم الصلد بين (2.5-500) مايكرون [11]. وقد تصل صلادة طبقة الطلاء بالكروم الى أكثر من (1000 HV) . وللحصول على الصلادة المطلوبة يجب التنسيق بين درجة الحرارة وكثافة التيار [2] . ان نتائج سماكة الطلاء والتي تم الحصول عليها بتغيير زمن الطلاء وتنشيط كثافة التيار تتفق مع نتائج الباحث (Iwai) [12] من خلال استخدامه لظروف طلاء مماثلة لظروف طلاء البحث الحالي. والشكل (4) يوضح التغير في سماكة طبقة الطلاء بالكروم الصلد على سطح الفولاذ منخفض الكاربون مع الفترة الزمنية للطلاء.

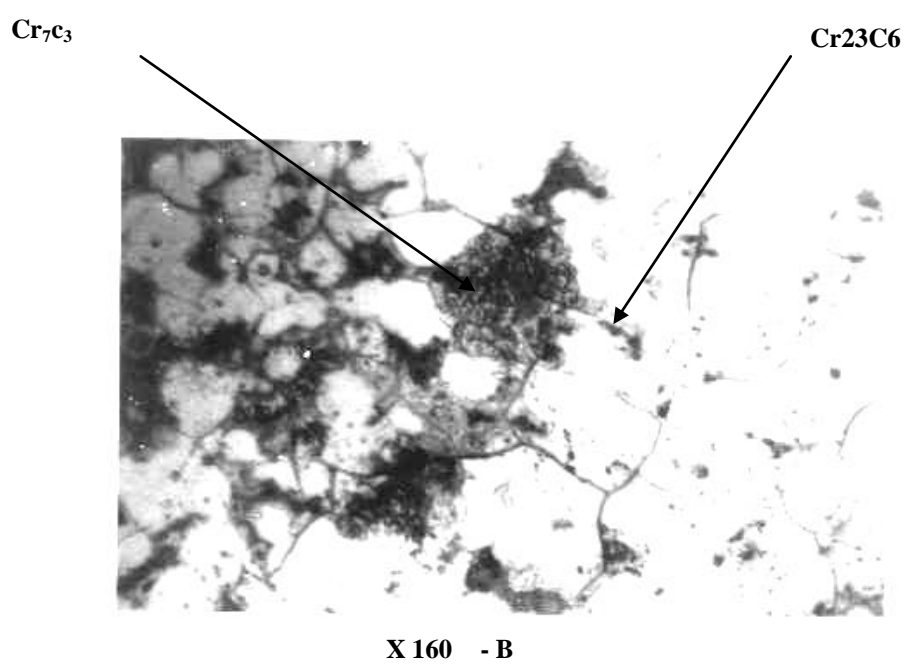
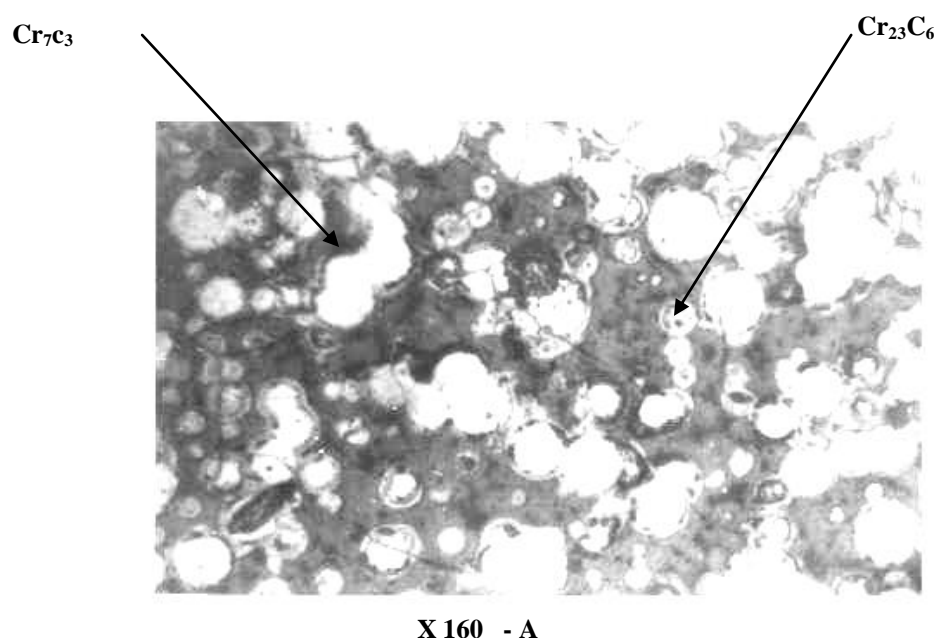
### التركيب المجهي بعد الكربنة الصلبة والمعاملات الحرارية اللاحقة

ان اجراء الكربنة لفولاذ منخفض الكاربون يؤدي الى الحصول على تركيب مجهي مكون من طور المارتنسيات (Martensite) مع وجود شبكة كاربيدية من السمنتايت (Sementeite) تختفي عند التوغل الى داخل العينة مما يدل ان الطبقة السطحية قد تشبعت بالكاربون ولعمق معين جراء عملية الكربنة [13,5].. ان تحرير عنصر الكاربون بالحالة الذرية من الوسط المكرben ومن ثم تلامس ذرات الكاربون على سطح الفولاذ المطلني بالكروم الصلد. ثم يتم تغلغل ذرات الكاربون داخل طبقة الطلاء واتحادها مع الكروم لتكوين كاربيدات الكروم بالعمليات الانتشارية والتي ادت الى زيادة سماكة طبقة المصلدة. ومن خلال ملاحظة الشكل (5) الذي يوضح التركيب المجهي للعينات الطلاء بعد الكربنة وتكونن كاربيدات الكروم من نوع (Cr<sub>7</sub>C<sub>3</sub> , Cr<sub>23</sub>C<sub>6</sub>) والتي تعد من الكاربيدات الضخمة (Massive Carbides). كذلك

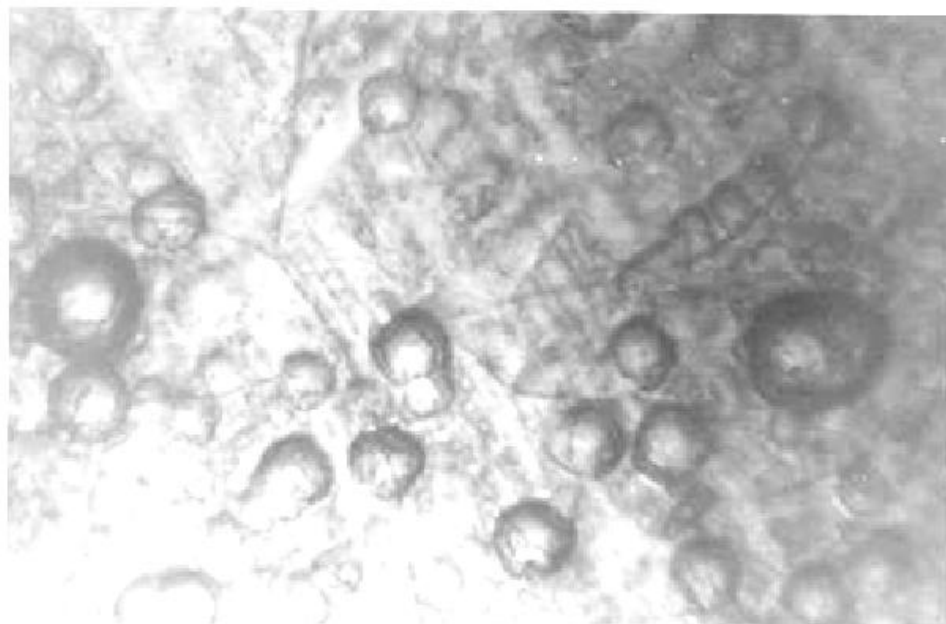




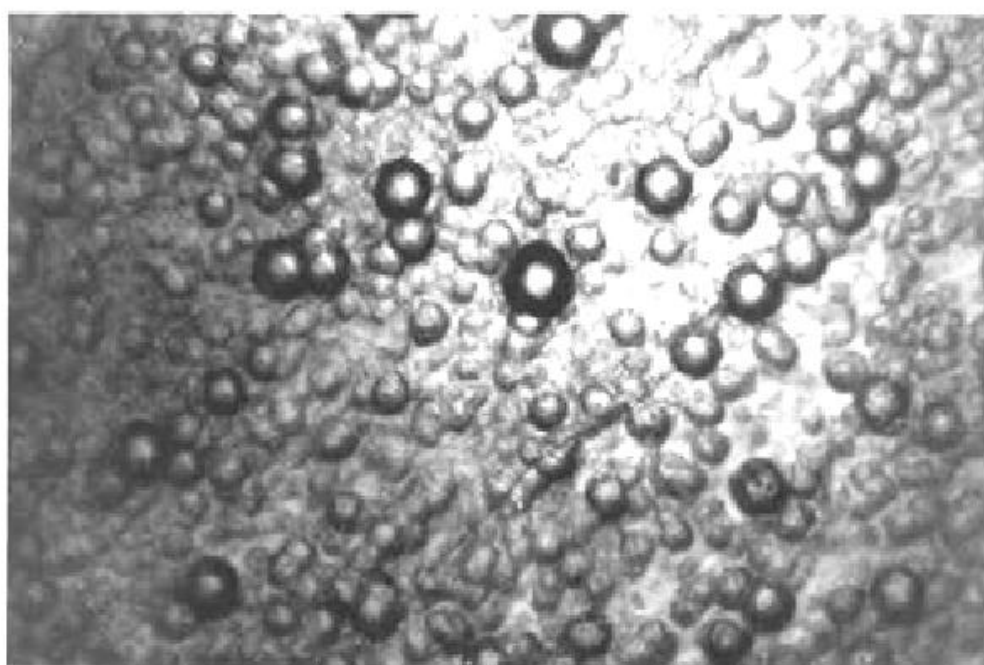
شكل\_4 \_ الصور المجهرية التي توضح التغير في سمك طبقة طلاء الكروم الصلد على سطح الفولاذ منخفض الكربون نوع (CK<sub>1</sub>)



شكل 5 صور البنية المجهرية لعينة مطلية بالكريوم بعد إجراء الكربنة الصلبة للفولاذ منخفض الكاربون (Cr<sub>1</sub>)، A - سمك الطلاء (25μm) B - سمك الطلاء (50μm)

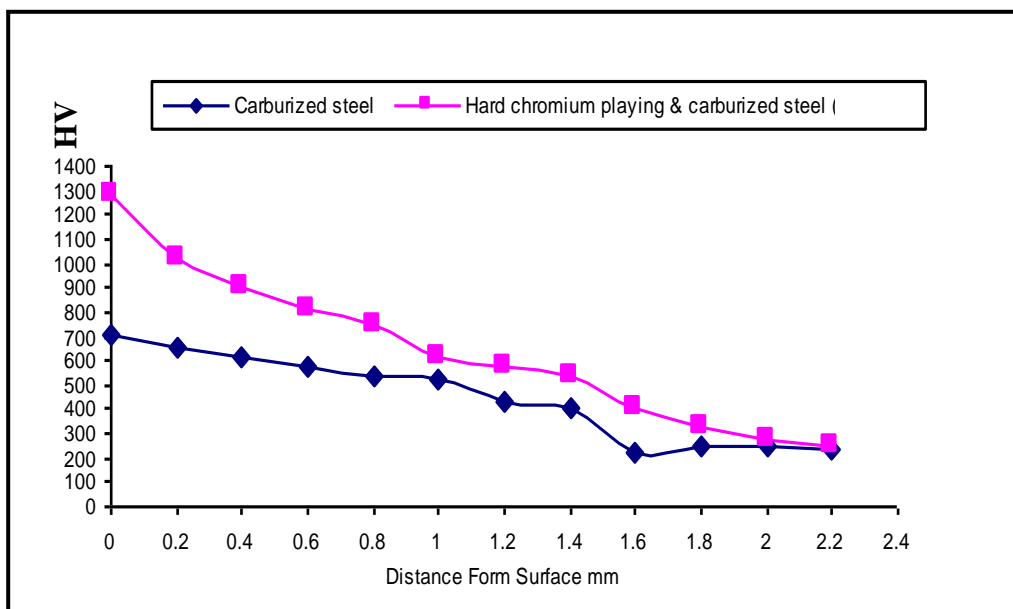
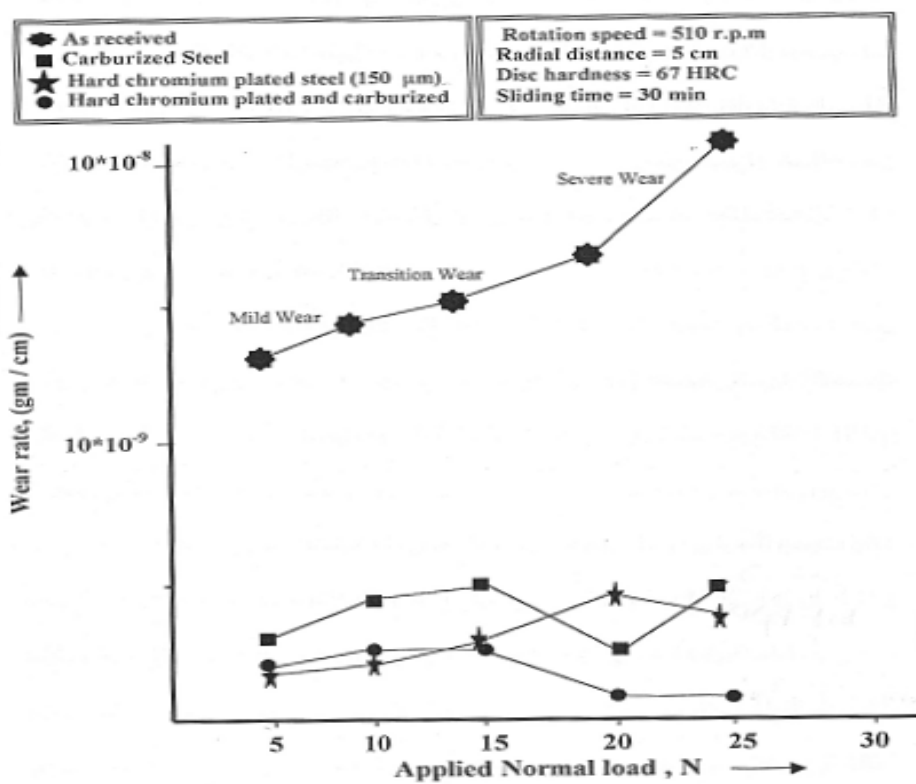


X 400 - بعد 1 ساعة - A



X 400 - بعد 5 ساعة - B

شكل 6 الصور المجهرية التي توضح زيادة المساحة الجزئية للمسامات مع زيادة زمن الطلاء بالكريوم الصلد على سطح الفولاذ منخفض الكربون نوع CK<sub>15</sub>

شكل\_٧ \_ نتائج الصلاة المجهرية للفولاذ منخفض الكاربون نوع CK<sub>15</sub> المطلي بالكروم ( لمدة ٥ ساعة) ثم تمت كربنته

شكل 8\_ تأثير الحمل العمودي المسلط على معدل البلي الانزلاقي الجاف للفولاذ منخفض الكاربون نوع CK5 المطلي بالكروم ( لمدة 5 ساعة ) ثم تمت كربنته

الصلادة للطبقات السطحية ومن ثم انخفاض معدل البلي مع ازدياد الحمل المسلط حتى يصل مرحلة بيدا عندها الطلاء بالتقشر (Spelled off) ومن ثم انهيار الطلاء وارتفاع كبير في معدلات البلي [1]. لذا فإن العامل الحاسم هنا هو سمك طبقة الطلاء بالكروم الصلد فعند زيادة هذا السمك تزداد مقاومة البلي او ما يصطلاح عليه بقابلية تحمل الطلاء (Durability). لذا فقد كانت نتائج معدلات البلي للعينات المطلية بالكروم ذات سمك ( 150 ) مایكرون هي الافضل من بين المجاميع الأخرى. وعند فحص العينات المتأثرة بالبلي بعد الاختبار بالمجهر الضوئي لوحظ وجود دقائق أوكسیدية متتصفة بالسطح وهي تمثل حطام البلي الأوكسيدي وكما موضح في الشكل(9).

#### 4.6.2 دراسة طوبوغرافية لسطح البلي

لقد تم دراسة السطح المتضرر من البلي ولاحمال مختلفة وحالة عينات مختلفة. حيث تبين الصور الفوتوغرافية المأخوذة بالمجهر الالكتروني الماسح (SEM) اتجاه خطوط البلي مع تكون حطام البلي. ان تكون التشقق التي تكون عمودية على اتجاه الانزلاق والتقائها مع بعضها البعض ومع خطوط البلي مما سبب انفال وخلع طبقات رقيقة من سطح العينة مكونة بذلك دقائق حطام البلي كما موضح في الشكل (10)، والذي يبين التشوه الحاصل لسطح عينة الفولاذ منخفض الكاربون بحالتها المستلمة مع ظهور الحفر والاخذيد في سطح العينة وعند تسلیط حمل ( 25N ). اما الشكل (11) فيوضح تكون طبقة من حطام البلي طبقة الطلاء والتي تعمل على خفض معدل البلي في حالة العينات المطلية بالكروم الصلد.

بينما يلاحظ أن السطح المتأثر بالبلي للفولاذ المكرben كربنة صلبة فقط يكون اقل تشوهها مقارنة بالتشوه الحاصل في الفولاذ المستلم، اذ تكون الاخذيد المتكونة مع اتجاه الانزلاق.

### 5. الاستنتاجات Conclusions

١. أظهرت نتائج الفحص بجيود الأشعة السينية ( XRD ) تكون كاربيدات الكروم ( Cr<sub>7</sub>C<sub>3</sub>, Cr<sub>23</sub>C<sub>6</sub> ) ضمن طبقة الطلاء بعد اجراء الكربنة الصلبة والمتبوعة بالتقسيمة والمراجعة.
٢. زيادة عمق وصلادة الطبقة المصلدة للفولاذ المطلي بالكروم الصلد والمكرben كربنة صلبة أدت الى انخفاض معدل البلي بمقدار أكبر مقارنة بالفولاذ المكرben فقط وعند جميع الأحمال المسلطة في اختبار البلي.
٣. سلوك البلي للعينات المكربنة فقط والعينات المطلية بالكروم والمكربنة يختلف عما هو عليه في حالة الفولاذ بحالته المستلمة اذ تظهر ثلاثة مناطق في منحني (الحمل المسلط - معدل البلي ) البلي الطري والبلي الانقالي والبلي الشديد في حالة الفولاذ المنخفض الكاربون بحالته المستلمة.
٤. أدت عملية الكربنة الصلبة للعينات المطلية بالكروم إلى تحسن كبير في مقاومة البلي يعادل ( 94 % ) مقارنة بالفولاذ منخفض الكاربون بحالته المستلمة.

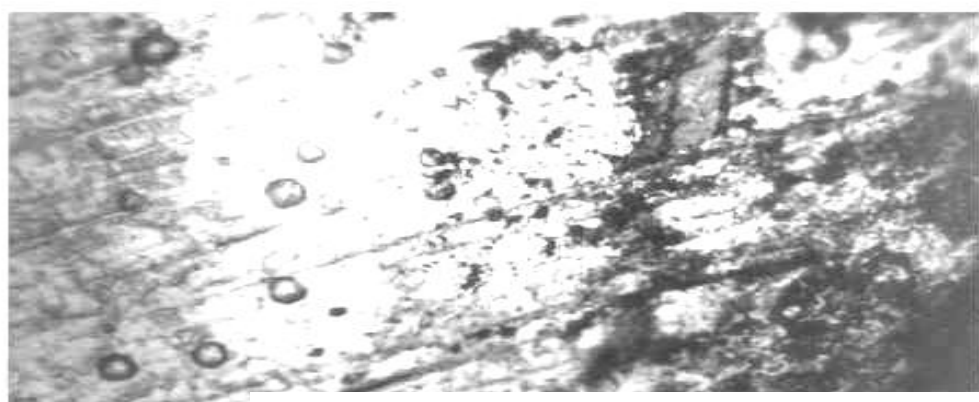
#### دراسة نتائج اجراء اختبار البلي الانزلاقي الجاف

#### 4.6.1 دراسة تأثير الحمل العمودي المسلط على معدل البلي

تم دراسة تأثير الحمل العمودي المسلط على معدل البلي لعينات الفولاذ كما استلمت وبعد طلائها بالكروم الصلد وكذلك بعد اجراء الكربنة الصلبة بدرجة حرارة ( 925 ) ° لفترة زمنية ( 2 ) ساعة لعينات الطلاء باستخدام سرعة انزالقة ( Sliding Speed ) مقدارها ( sec / m ) ( 2.198 ). وتم استخدام خمسة احمال في هذا البحث هي ( N ) ( 25,20,15,10,5 ) لبيان تأثيرها على معدل البلي مع بقاء المتغيرات الأخرى ثابتة. ويلاحظ من خلال الشكل ( 8 ) بأن معدل البلي لعينة الفولاذ منخفض الكاربون بحالتها المستلمة يزداد مع زيادة الحمل المسلط والسبب انه بزيادة الحمل المسلط يزداد التشوه اللدن ( Plastic Deformation ) الحالى لقسم النتوءات السطحية للعينة مما يؤدى الى زيادة مساحة التلامس الحقيقي بين السطحين المترافقين [ 15 ]. اذ ان عملية التصادق النتوءات لسطح التلامس تعتمد اعتماداً كبيراً على مقدار الحمل المسلط، فعندما يكون الحمل المسلط قليلاً فان الاتصال يحصل فقط عند اعلى قمم النتوءات السطحية. لذلك سوف يكون ضعيفاً لأنه اثناء عملية الانزلاق تكون طبقة رقيقة من الاوكسيد تعمل بمثابة غشاء سطحي واق ( Protective Surface Film ) يغطي سطح الانزلاق مما يؤدى الى قلة حصول التلامس ما بين السطحين المترافقين ومنع حصول الاتصال المعدنى المباشر ما بين نتوءاتها السطحية. وبهذا سوف تكون القوة اللازمة لقص وفصل الترابط الحاصل ما بين نتوءات السطحين اقل من قوة ترابط ذرات المعدن نفسه وبالتالي ينتج عن ذلك انخفاض معدل البلي [ 16 ]. اما عند زيادة الحمل المسلط فيحدث تكسر لغشاء الاوكسيد وذلك بسبب هشاشةيتها اذ انه يقذف خارج السطوح الانزلاقي المحركة لكل من العينة والقرص اثناء عملية الانزلاق ( Metallic Junction ) قوى مما يؤدى حصول اتصال معدنى فيما بينها يجعل القوة اللازمة لقص نتوءاتها المتصلة اعلى من قوة ترابط ذرات معدن العينة نفسها، مما يؤدى الى خلع وفصل دقائق معدنية من سطح العينة مؤدياً بالنتيجة الى زيادة معدل البلي.

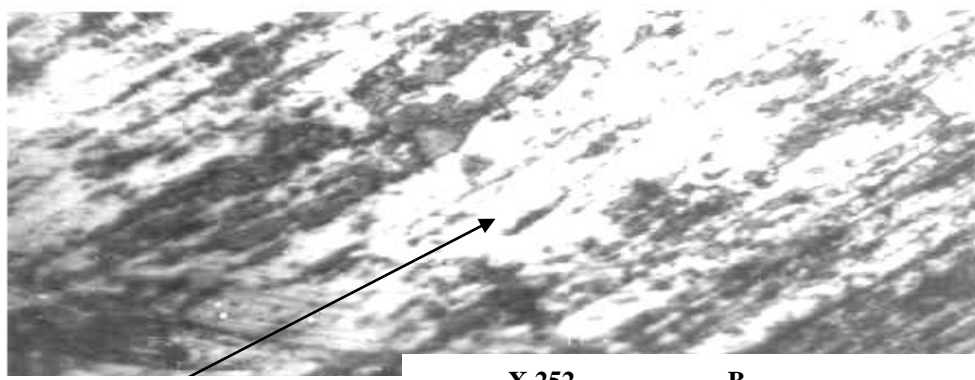
ويوضح من الشكل ( 8 ) حصول البلي الاوكسيدي عند الاحمال القليلة والتحوال من آلية البلي الطري ( Mild Wear ) الى البلي الشديد ( Severe Wear ). وتتفق هذا الزيادة في معدل البلي للفولاذ منخفض الكاربون مع ما اشار اليه الباحث (Eyre) [ 17 ] من ان زيادة الحمل المسلط تؤدي الى ازدياد معدل البلي. ويوضح من الشكل ( 8 ) التحسن الواضح في مقاومة البلي للفولاذ منخفض الكاربون عند اجراء الكربنة وبدرجة حرارة ( 925 ) ° ولمدة ( 2 ) ساعة وطلائه بالكروم الصلد كهربائياً وكذلك عند اجراء الكربنة لعينات طلاء الكرום الصلد. ان كربنة الفولاذ ومن ثم معاملته حرارياً ( التقسيمة والمراجعة ) ادت الى خفض معدل البلي بسبب تكوين شبكة من السمنتايت ( Fe<sub>3</sub>C ) في ارضية مارتنسيتية. بينما اظهرت العينات المطلية بالكروم الصلد والمكربنة كربنة صلبة في درجة ( 925 ) ° ولمدة ( 2 ) ساعة تحسناً افضل في مقاومة البلي مقارنة بالعينات المكربنة فقط. ويعزى ذلك الى ارتفاع صلادة طبقة الكروم الصلد وتكون شبكة من كاربيدات الكروم نوع ( Cr<sub>23</sub>C<sub>6</sub> ) مع تكوين بنية مارتنسيتية والتي ينتج عنها زيادة





X 252

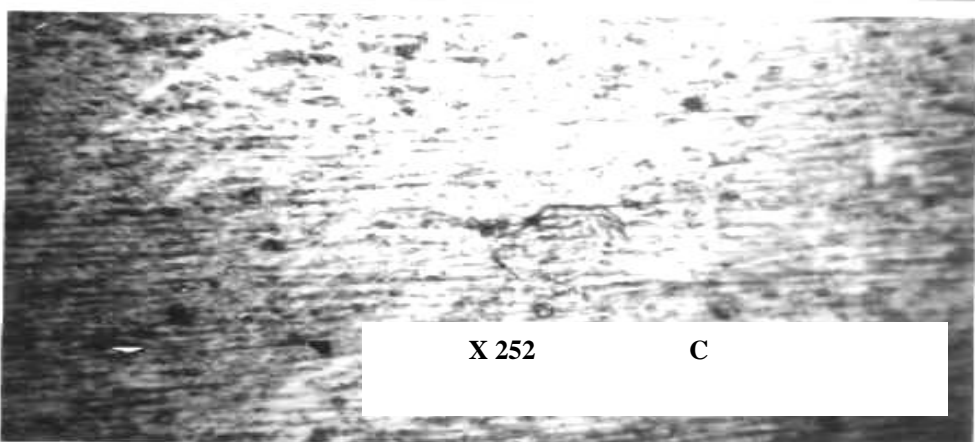
A



X 252

B

اتجاه الانزلاق

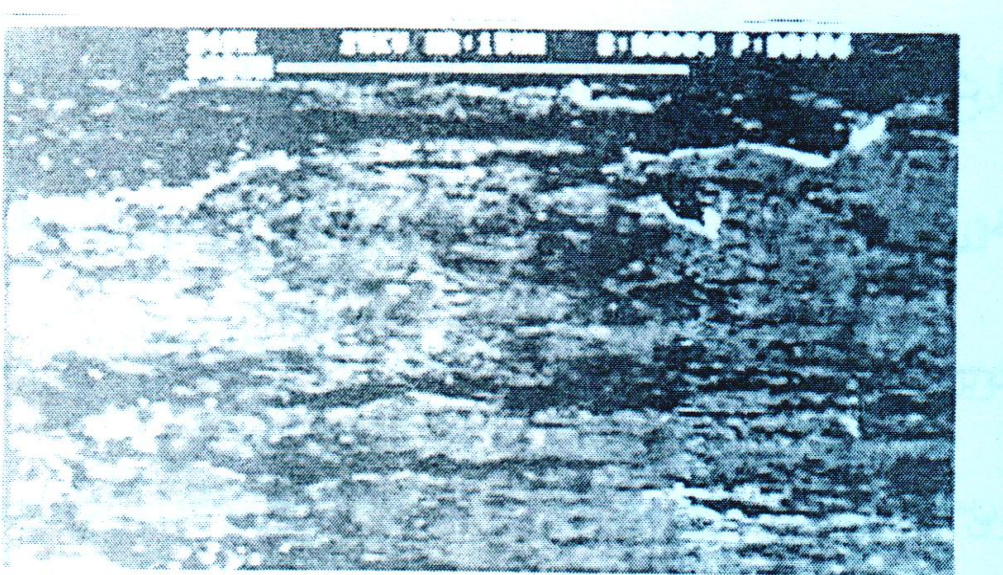


X 252

C

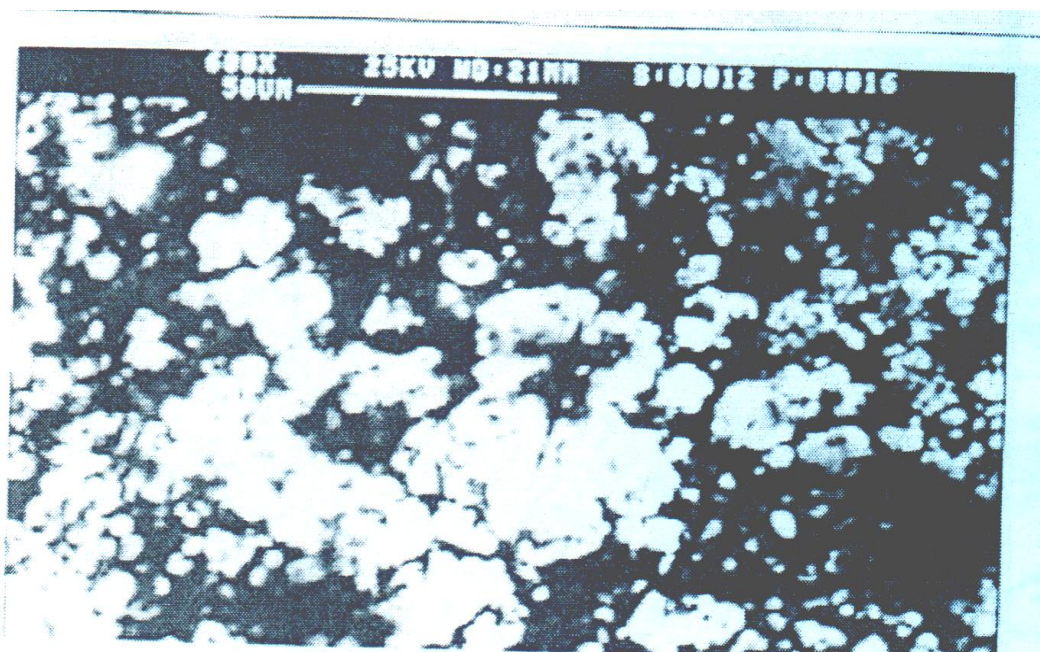
شكل 9\_ المنطقة المتأثرة بالبلي لطبقة طلاء الكروم سمك (150)マイクロن وزيادة التشويه مع زيادة الحمل لعينة الفولاذ منخفض الكربون، A – الحمل (25N) B – الحمل (20N) C – الحمل (15N)





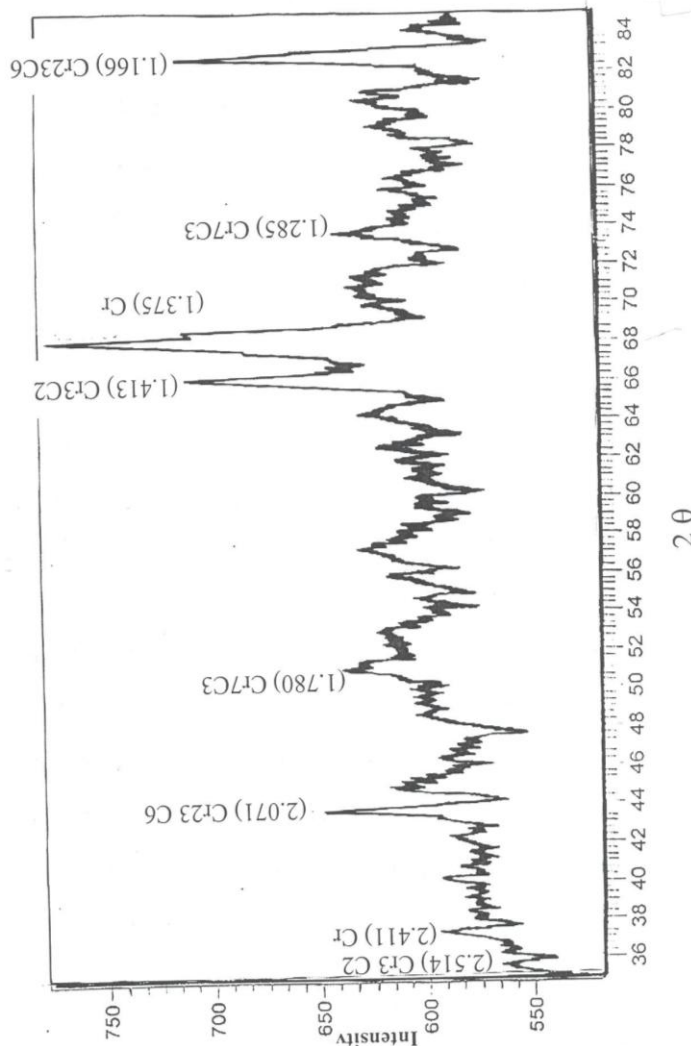
X 249

شكل\_10 \_ المنطقة المتاثرة بالبلى للعينة الفولاذ منخفض الكربون بحالتها المستلمه توضح الاخداد والحفر عند حمل (25N)



X 600

شكل ١١ المنطقة المتاثرة بالبلي لطبقة طلاء الكروم الصلد حيث يلاحظ تكون طبقة من حطام طبقة الطلاء عند حمل (N20) لعينة فولاذ منخفض الكربون نوع (CK<sub>15</sub>).



شكل ١٢ يبين نتائج حيد الاشعة السينية للفولاذ منخفض الكربون المطلي بالكروم ( سمك 25 ميكرون ) ثم تمت كرينته

- [4] For every problem, Asolutions Metcor inc.560boul.Arthur-sauve,saint-Eustache J7R 5A8 Web:www.metcor.biz. 2002.
- [5] [www.internet](http://www.internet) , "Surface Hardening of Steel", Seven Club of Great Britain ,L7C Home ,Blatechat ,Edited April 9 ,2003.
- [6] Muna K. Abbas and Khairia S.Hassun, "Effect Carburizing Medium on Fatigue Strength for Low Carbon Alloy Steel", Proceeding of the Fifth Jordanian International Mechanical Engineers Association ,2-4 April ,2004.
- [7] Ahmed S. Abbas, "Hard Chromium Electroplating and Improvement the and

#### ٥. المصادر

- [1] Strafford K.N, "Coatings and Surface Treatment for Corrosion and Wear Resistance", 1st Edition, Ellis Harwood Limited, England,1984,PP.1-4,PP.62-73.
- [2] Hyman Chessin, "Hard Chromium Plating", Metals Handbook, Vol.5 Surface Cleaning, Finishing, and Coating ),9th Edition1982, PP.170-187
- [3] Wells T.C. "A Review of Surface Treatments and Coatings", Surfacing Journal, Vol.9, No.4, 1978, PP.2-9.

- [13] Thelining K.E., "Steel and Its Heat Treatment", 2nd Edition, 1984, PP.449-453.
- [14] Cameron T. B. "A Perspective on the Performance of Carburized Gear Steel", Society of Automotive Engineers, 1985, PP.1921-1928.
- [15] 15- Halling J., "Principles of Tribology", Published by the Macmillan Press Limited (London), 1979, PP.94 –100, PP.105 –109.
- [16] Mikell P. Groover, "Fundamentals of Modern Manufacturing Materials Processes and Systems, John, Wiley & Sons, Inc., 1999.
- [17] Eyre T.S, "Wear Characteristic of Metals", Tribology International, 1976, PP.203-212.
- [18] Metallurgy", University of Technology ,Baghdad ,Iraq, 2002.
- [9] Eman S. Naeem, M.Sc. Thesis, "Study of the Porosity of Different Coating Systems of Low Carbon Steel", Department of Production Engineering and Metallurgy, University of Technology ,Baghdad ,Iraq,1990.
- [10] U. N. I. D. O., "Advances in Material Tech ", Monitor Vienna International Center, Austria, 1990, pp.9-11.
- [11] Solov'eva Z.A. and Adzhiev B.U., "Internal Stresses of Chromium Coatings Measured During Electro deposition", Journal of Surface Technology, Vol.23, No. 1, 1984.
- [12] Nabil Zaki, "Chromium Plating" Products Finishing Directory", <http://WWW.Pfonline.com> /articles / pdf 0016. Htm /2000, PP.1-10.
- [12] Iwai Y. , "Effects of Hard Chromium Plating on Cavitations Erosion", Journal of Wear, Vol.128, No.2, 1988, PP.189-190.

# **Hard Chromium Electroplating and Improvement the Properties by the Thermo Chemical Treatments (Solid Carburizing) of Low Carbon Steel**

**Muna Khedier Abbas    Amin Dway Thamir    Ahmed Salloum Abbas**

*Department of Production Engineering and Metallurgy/ University of Technology*

---

## **Abstract**

In this research the hard chromium electroplating process, which is one of the common methods of overlay coating was used, by using chromium acid as source of chromium and sulphuric acid as catalyst since the ratio between chromic acid and sulphuric acid is (100 : 1) consequently. Plating process was made by applying current of density (40 Amp / dm<sup>2</sup>) and the range of solution temperature was (50 – 55°C) with different time periods (1-5 hr). A low carbon steel type (Ck<sub>15</sub>) was used as substrate for hard chromium electroplating. Solid carburization was carried out for hard chromium plating specimen at temperature (925°C) with time duration (2 hr) to be followed with quenching and tempering. The phase analysis was conducted by using X- ray diffraction. The examination results show that the chromium carbides in plating layer were (Cr<sub>23</sub>C<sub>6</sub>, Cr<sub>7</sub>C<sub>3</sub>). The microhardness of hard chromium plating specimen was measured, and the results show that the high hardness was about (907HV). After solid carburization the hardness values increase and the results show that the higher hardness for chromium plating layer on low carbon steel surface was (1276 HV).

Wear apparatus type (Pin on Disc) was used to study dry sliding wear properties of low carbon steel (As received) and hard chromium plating specimens and solid carburized. The effect of applied normal load on wear rate was studied with weighting method using five normal loads (5, 10, 15, 20, 25 N) at constant sliding speed (2.198 m / sec). The results reveal that the wear rate increases with the increasing of applied normal load. A good improvement in wear resistance was noticed for hard chromium plating specimens as compared with substrate specimen. It was also seen that, the improvement in wear resistance was (94%) as compared with substrate metal when carburizing treatment is carried out on hard chromium plating specimens.

---